



# ارائهی مدل ابتکاری DAT برای برآورد زمان و هزینهی تونل و بهروزرسانی با دادههای حین حفاری

ارسلان محمودزاده؛ شکرا... زارع<sup>۲</sup>؛ رحمان دارای<sup>۳</sup>

- ۱- دانشجوی کارشناسی ارشد مکانیک سنگ، دانشکده مهندسی معدن، نفت و ژئوفیزیک، دانشگاه صنعتی شاهروд
  - ۲- دانشیار، هیئت علمی گروه مکانیک سنگ، دانشکده مهندسی معدن، نفت و ژئوفیزیک، دانشگاه صنعتی شاهرود
  - ۳- دانشجوی دکترای مکانیک سنگ، دانشکده مهندسی معدن، نفت و ژئوفیزیک، دانشگاه صنعتی شاهرود

پذیرش: ۱۳۹۵/۱۱

۱۳۹۵/۰۲ دریافت:

چکیدہ

زمان‌بندی از اهمیت فراوانی در برنامه‌ریزی و مدیریت ساخت پروژه‌ها برخوردار است. وابستگی پیچیده‌ی میان فعالیت‌های ساخت در تونل‌ها، زمان و هزینه‌های ساخت را تا حدودی تحت تأثیر قرار می‌دهد. شرایط زمین و زمان و هزینه‌های ساخت از موارد اساسی در تصمیم‌گیری‌ها برای مرحله‌ی برنامه‌ریزی و طراحی یک پروژه به حساب می‌آیند. در این مقاله، روش ابتکاری *DAT* به منظور ارزیابی احتمالاتی شرایط زمین و زمان و هزینه‌های ساخت بکار گرفته شده است. در طول ساخت، داده‌های زمین‌شناسی واقعی برای بخش‌های حفاری شده تونل در دسترس قرار می‌گیرد و عدم قطعیت‌های زمین‌شناسی برای این بخش‌ها به طور کامل از بین می‌رود. این داده‌های جدید می‌توانند در بهروزرسانی شرایط زمین‌شناسی مورد انتظار مسیر تونل به منظور دست‌یابی به پیش‌بینی‌های دقیق‌تر برای بخش حفاری نشده، مورداستفاده قرار گیرند.

در این مقاله بهمنظور نشان دادن چگونگی پیش‌بینی شرایط زمین‌شناسی مورد انتظار در مسیر تونل، زمان و هزینه‌های موردنیاز ساخت و همچنین بهروزرسانی این موارد در طول فرآیند ساخت، از تونل جاده‌ی همرو به عنوان مطالعه موردی استفاده شده است. برای نشان دادن تأثیر بهروزرسانی‌ها بر روی نتایج اولیه، میزان زمان و هزینه‌های به دست آمده از مدل اولیه بازمان و هزینه‌های به دست آمده از مدل بهروزرسانی شده، مقایسه شده است. درنهایت، کاهش عدم قطعیت در مورد زمان و هزینه‌های ساخت تونل نتیجه شده است. با توجه به نتایج به دست آمده، بهروزرسانی داده‌ها در طول ساخت می‌تواند کمک بسیار خوبی در آگاه ساختن پیمان‌کارها و کارفرماهای پروژه در پذیرفتن میزان ریسک و ارائه‌ی پیشنهادها برای ساخت بخش‌های حفاری نشده‌ی تونل محسوب شود.

مدل ابتکاری **DAT**, عدم قطعیت زمان و هزینه، مدل زمین‌شناسی، مدل ساخت، بهروزرسانی **DAT**.

وازگان کلیدی

زمان ساخت تونل و به کارگیری آنها در مدل DAT، زمان و هزینه‌ی نهایی جدیدی برای ساخت تونل به دست آمد و درنهایت این زمان و هزینه‌ها را باهم مقایسه نمودند.<sup>[۷]</sup>

به منظور مدل‌سازی عدم قطعیت در پروژه‌ی خط زیرزمینی در شهر نیویورک و برآورد زمان و هزینه‌ی نهایی ساخت تونل‌های پروژه‌ی خط راه‌آهن پرتغال، روش DAT بکار گرفته شد.<sup>[۸]</sup> و <sup>[۹]</sup>

از جمله جدیدترین کارهایی که در آن از روش DAT بهره گرفته شده است، برآورد زمان و هزینه‌ی نهایی در حفاری چاه EGS (Engineering Geothermal System) برای

است.<sup>[۱۰]</sup>

ابزار کمک به تصمیم‌گیری DAT به پیش‌بینی زمان و هزینه‌ی نهایی ساخت تونل با استفاده از دو مدل زمین‌شناسی و مدل ساخت می‌پردازد. این ابزار در مدل زمین‌شناسی، مجموعه‌هایی از شرایط زمین‌شناسی مختلف را در نظر گرفته و هر مجموعه شرایط را یک کلاس زمین می‌نامد که شامل روش حفاری و سیستم نگهداری مخصوص به خود است. در مدل زمین‌شناسی، احتمال وقوع هر کدام از این کلاس‌های زمین با استفاده از روش مارکوف در هر موقعیتی در مسیر تونل به دست می‌آید. در مدل ساخت با اختصاص دادن زمان و هزینه به هر کدام از کلاس‌ها به کمک نظر افراد متخصص و تجربه‌ی پروژه‌های انجام‌شده‌ی قبلی در شرایط مشابه، زمان و هزینه‌ی مربوط به هر کلاس در هر موقعیتی در مسیر تونل با توجه به مدل زمین‌شناسی می‌تواند به دست آید. سپس می‌توان زمان و هزینه‌ی کل تولید را از مجموع زمان و هزینه‌ها در کلیه موقعیت‌ها در مسیر تونل به صورت احتمالاتی برآورد نمود.<sup>[۱۱]</sup> مدل DAT در دانشگاه MIT توسط گروه پروفسور انسیتین PertMaster نرم‌افزاری برای آن طراحی شده است که تمام مراحل مدل DAT را با آن نرم‌افزار می‌توان اجرا نمود ولی به دلیل در دسترس نبودن این نرم‌افزار، نویسنده‌گان از نرم‌افزار MATLAB به منظور کد نویسی مدل مارکوف و نرم‌افزار Excel برای ترسیم نمودارها بهره گرفته‌اند. همچنین از آنجایی که نویسنده‌گان در اکثر مراحل کار برای دستیابی به داده‌های دقیق‌تر از نظرات افراد کارشناس تونل‌سازی به کمک پرسشنامه بهره گرفته‌اند، لذا در عنوان مقاله‌ی حاضر از مدل DAT تحت عنوان مدل ابتکاری DAT نامبرده شده است.

## ۱- مقدمه

از جمله مباحث مهم جهت طراحی و برنامه‌ریزی پروژه‌ها، به حداقل رساندن عدم قطعیت‌ها است. معمولاً عدم قطعیت‌ها در پروژه‌های زیرسطحی، ناشی از شرایط ناشناخته‌ی زمین است که باعث می‌شود در طراحی‌ها نتوان کل مسائلی که ممکن است در زمان ساخت اتفاق بیفتد، در نظر گرفته شود. از مهم‌ترین عدم قطعیت‌ها می‌توان به عدم قطعیت در مورد زمان و هزینه‌ی نهایی پروژه اشاره کرد؛ زیرا این زمان و هزینه‌ها در ارتباط با شناخت کامل شرایط زیرسطحی هستند. بنابراین در پروژه‌های زیرسطحی نمی‌توان زمان و هزینه‌ها را به صورت قطعی بیان نمود بلکه باید از روش‌های احتمالاتی استفاده کرد.<sup>[۱۲]</sup>

جهت برآورد عدم قطعیت‌های به صورت احتمالاتی، ابزارها (مدلهای احتمالاتی) مختلفی ارائه شده است که ابزار DAT(Decision Aids for Tunneling) از جمله آنها می‌باشد. DAT برای اولین بار توسط انسیتین (۱۹۸۰) ارائه شد، بعد این مدل توسط گروه پروفسور انسیتین توسعه یافت و تا به امروز کارهای زیادی روی مدل DAT در پروژه‌های مختلف انجام‌شده است.

ابزار DAT در ابتدا شامل دو مدل ساخت و مدل زمین‌شناسی بود تا این‌که یک مدل تحت عنوان مدل منابع به مدل‌های آن اضافه شد.<sup>[۲]</sup> سپس روشی برای ارزیابی فناوری تونل‌زنی تمام DAT مقطع به روش DAT ارائه شد.<sup>[۳]</sup> بعد از آن مدل به گونه‌ای توسعه یافت که می‌توانست در هنگام ساخت و در صورت دست‌یابی به داده‌های جدید و واقعی‌تر نسبت به داده‌های اولیه، مدل را به روزرسانی نموده و عدم قطعیت‌ها را در مورد زمان و هزینه‌ی نهایی ساخت تونل نسبت به مدل قبلی کاهش دهد.<sup>[۴]</sup>

به منظور برآورد زمان و هزینه‌ی نهایی ساخت تونل، روش DAT در پروژه تونل سوچوون، تونل وونهیو و تونل کنمور شمالی مورد استفاده قرار گرفت.<sup>[۵]</sup> [۶] و <sup>[۷]</sup>

جهت بررسی تأثیر به روزرسانی مدل DAT به کمک داده‌های زمین‌شناسی جدید و واقعی در زمان ساخت تونل (حفاری قسمتی از تونل)، ابتدا زمان و هزینه‌ی نهایی ساخت یک تونل را با به کارگیری داده‌های زمین‌شناسی اولیه به کمک این روش ارزیابی نمودند؛ سپس با به روزرسانی داده‌های زمین‌شناسی در

مسیر تونل به بخش‌ها (سلول‌ها)‌ی مساوی هر کدام به طول ۱۰ متر تقسیم شد. شش تا این سلوول‌ها مربوط به موقعیت چهار گمانه و موقعیت ورودی و خروجی تونل بودند و به دلیل مشخص بودن احتمال وقوع حالات پارامترهای در نظر گرفته شده در این مطالعه (پارامترهای نوع سنگ، RQD و آب زیرزمینی)، با عنوان سلوول‌های مشاهده‌ای از آن‌ها اسم برده شده است. لازم به ذکر است، با توجه به اینکه در این مطالعه از داده‌های قبل از شروع به ساخت تونل استفاده شده است و این داده‌ها برای موقعیت گمانه‌ها به صورت کاملاً دقیق نیستند و همچنانی به دلیل اینکه در مرحله‌ی قبل از شروع به ساخت تونل فاصله‌ی حدود ۲۰۰ متر مربوط به پورتال ورودی و خروجی تونل خاکبرداری نشده است، تمام مشاهدات به صورت غیرقطعی در نظر گرفته شدند.

در مرحله‌ی بعد به منظور پیدا کردن احتمال وقوع حالات پارامترها در سایر سلوول‌ها (سلول‌های مجهول)، مدل مارکوف در نرم‌افزار MATLAB کدنویسی شد و به کمک سلوول‌های مشاهده‌ای، سایر سلوول‌ها نیز از حالت مجهول درآمدند و درنتیجه برای هر پارامتر، پروفیلی تحت عنوان پروفیل پارامتر به دست آمد که احتمال وقوع هر حالت از هر پارامتر را در داخل هر سلوول مشخص می‌ساخت. درنهایت از ترکیب حالات مختلف پارامترها، شرایط زمین‌شناسی مختلفی برای مسیر تونل به دست آمد که توسط ۱۰ نفر کارشناس تونل‌سازی، چند کلاس زمین (هر کدام شامل روش حفاری و سیستم نگهداری مخصوص) معرفی شد به گونه‌ای که هر کدام از این کلاس‌ها برای تعدادی از شرایط زمین به دست آمده جوابگو بودند. سپس از ترکیب پروفیل‌های پارامتر، پروفیلی به دست آمد که احتمال وقوع هر کدام از کلاس‌های زمین را در داخل هر سلوول به دست می‌داد و پروفیل کلاس زمین نامیده شد.

از آنجایی که هر کلاس زمین یک زمان و هزینه‌ی متفاوتی دارد، بنابراین احتمال وقوع زمان و هزینه‌های مختلف در داخل هر بخش نیز موجود است. سپس جهت دست‌یابی به زمان و هزینه‌ی نهایی ساخت تونل، با استفاده از روش شبیه‌سازی مونت‌کارلو در نرم‌افزار PertMaster زمان و هزینه‌ی تمام بخش‌ها باهم جمع شدند. درنهایت به کمک نمودار پراکندگی، زمان و هزینه‌های متفاوتی با احتمال وقوع (عدم قطعیت)‌های مشخصی به دست آمد.

از آنجایی که بدنیه‌ی اصلی این مطالعه به روزرسانی مدل DAT

مطالعه‌ی حاضر بر روی تونل همرو با طول ۱۳۱۰ متر و سطح مقطع ۹۷ مترمربع به عنوان بخشی از جاده‌ی جدید در دست احداث ستدنج - مریوان صورت گرفته است. البته در زمان انجام این مطالعه، پروژه‌ی تونل همرو به اتمام رسیده بود و هدف از انتخاب این پروژه به عنوان مطالعه موردی، مقایسه‌ی زمان و هزینه‌ی حاصل از مدل DAT که در آن داده‌های قبل از شروع به ساخت تونل مورد استفاده قرار گرفته شده بود، با زمان و هزینه‌ی اجرای تونل در حالت واقعی بود و البته لازم به ذکر است که قبلاً تمام این کارها توسط نویسنده‌گان در منابع [۱۲]، [۱۳] و [۱۴] انجام شده است؛ بنابراین در مقاله‌ی حاضر ضرورتی بر تکرار کارهای قبلی از جمله اعتبارسنجی مدل DAT دیده نشد بلکه بیشتر به بدنیه اصلی مقاله‌ی حاضر که به روزرسانی مدل DAT در زمان حفاری است، پرداخته شده است.

ضرورت و اهمیت به روزرسانی مدل DAT از آنجا ناشی می‌شود که داده‌های ورودی DAT قبل از شروع به ساخت تونل به صورت احتمالاتی است و ممکن است این داده‌های اولیه دقیق نباشند و یا اشتباہ باشند که درنتیجه می‌تواند منجر به افزایش عدم قطعیت‌ها و درنتیجه افزایش ریسک تصمیم‌گیری‌ها در مورد زمان و هزینه‌های به دست آمده شود، لذا می‌توان در زمان اجرای پروژه با دست‌یابی به داده‌های واقعی برای بخش‌های حفاری شده و تأثیر آن‌ها در مدل، عدم قطعیت‌ها را در مورد زمان و هزینه‌ی موردنیاز اجرای بخش‌های حفاری نشده کاهش داد و جهت برنامه‌ریزی‌ها و تصمیم‌گیری‌ها دقیق‌تر برای سایر بخش‌های حفاری نشده از آن بهره گرفت که می‌تواند در بحث مدیریت پروژه بسیار حائز اهمیت باشد.

در ابتدا جهت برآورد زمان و هزینه، از داده‌های به دست آمده قبل از شروع به ساخت تونل استفاده شده و به منظور دست‌یابی به ماتریس‌های احتمال انتقال برای پارامترهای در نظر گرفته شده که در روش مارکوف از آن‌ها استفاده می‌شود، کلاس‌های زمین متناسب با شرایط زمین‌شناسی اولیه و همچنانی زمان و هزینه‌ی مربوط به اجرای هر متر از کلاس زمین موردنظر، پرسشنامه‌هایی تهیه شد و به کمک افراد با تجربه، این پرسشنامه‌ها تکمیل شدند. درنهایت از مجموع جواب‌های مربوط به این پرسشنامه‌ها، یک جواب نهایی به دست آمد و در روابط آماری بکار گرفته شد.

روش کار به شیوه‌ای بود که در مدل زمین‌شناسی ابتدا کل

طول مورد انتظار حالت  $i$  ( $H_{x_i}$ ) در مسیر تونل.

ب) محاسبه‌ی ماتریس شدت انتقال پارامتر  $X$  ( $A_x$ ) به کمک احتمال انتقال و ضریب شدت انتقال مطابق فرمول (۲).

$$A_x = \begin{bmatrix} -C_{x_1} & C_{x_1} p_{x_{12}} & \dots & C_{x_1} p_{x_{1n}} \\ C_{x_2} p_{x_{21}} & -C_{x_2} & \dots & C_{x_2} p_{x_{2n}} \\ \vdots & \vdots & \ddots & \vdots \\ C_{x_n} p_{x_{n1}} & C_{x_n} p_{x_{n2}} & \dots & -C_{x_n} \end{bmatrix} \quad (2)$$

ج) محاسبه‌ی ماتریس احتمال انتقال فاصله: بر اساس فرایند مارکوف، احتمال وقوع یک حالت معین از پارامتر زمین‌شناسی  $X$  در موقعیت‌های بعدی می‌تواند محاسبه شود. با توجه به شکل (۱)، در اینجا احتمال وقوع حالت  $z$  ( $n, j = 1, 2, \dots, n$ ) تعداد حالت‌های پارامتر  $(X)$  از پارامتر  $X$  در یک موقعیت معین  $u = (L-O_0)$  نسبت به موقعیت اولیه  $(O_0)$  به فاصله‌ی  $(L)$  مدنظر است ( $L > O_0$ ). همواره باید موقعیتی باشد که احتمال وقوع حالت‌های یک پارامتر معین در آن مشخص باشد تا فرایند مارکوف بتواند با استفاده از آن، این احتمال‌ها را در نقاط بعدی پیش‌بینی نماید [۱] و [۱۰].



شکل ۱: پیش‌بینی احتمال وقوع حالت‌های پارامتر  $X$  در سایر بخش‌ها [۱۴].

برای محاسبه‌ی احتمال وقوع حالت‌های یک پارامتر معین (به عنوان مثال پارامتر  $X$ ) در یک سلول به فاصله‌ی مشخصی (فاصله  $u$ ) نسبت به سلول اولیه، ماتریسی بکار برده می‌شود که ماتریس احتمال انتقال فاصله  $u$  ( $V_x(u)$ ) نام دارد و به صورت فرمول (۳) تعریف می‌شود [۱۳].

$$V_x(u) = \{v_{x_{ij}}(u)\} \quad (3)$$

که در آن  $v_{x_{ij}}(u)$  احتمال وقوع حالت  $j$  از پارامتر  $X$  به فاصله‌ی  $u$  از سلول  $O_0$  بوده و دارای حالت  $i$  است. همچنین معادله‌ی (۳) را می‌توان به صورت معادله‌ی (۴) نیز بیان نمود [۱۳].

حین حفاری است، لذا بعد از دست‌یابی به زمان و هزینه‌ی نهایی به کمک داده‌های قبل از شروع به ساخت تونل، به روزرسانی داده‌ها (بهروزرسانی حالات پارامترهای نوع سنگ، RQD و آب زیرزمینی و همچنین بهروزرسانی ماتریس‌های احتمال انتقال و شدت انتقال برای هر کدام از این پارامترها) برای ۱۰۰ متر حفاری شده از دو طرف ورودی و خروجی تونل، مدل بهروزرسانی شد و عدم قطعیت‌های کمتری نسبت به حالت قبل از بهروزرسانی برای زمان و هزینه‌ها به دست آمد.

## ۲- مدل زمین‌شناسی

شرایط زمین‌شناسی یک فاکتور اصلی در انتخاب روش حفاری و نگهداری است. از آنجایی که داده‌های مربوط به شرایط زمین‌شناسی مسیر تونل بسیار کم و یا اصلاً موجود نیست، توصیف پیش‌بینی‌ها بر اساس عدم قطعیت خواهد بود. مدل پیش‌بینی زمین‌شناسی با استفاده از داده‌های اولیه نظری نقشه‌های زمین‌شناسی، بررسی‌های ژئوفیزیکی، بررسی‌های ژئوتکنیکی و ... به پیش‌بینی شرایط زمین‌شناسی مورد انتظار در مسیر تونل نمی‌تواند به صورت قطعی بیان شود و بنابراین باید از روش‌های آماری جهت بیان احتمالاتی این شرایط استفاده نمود. یکی از مهم‌ترین روش‌های آماری که به پیش‌بینی شرایط زمین‌شناسی می‌پردازد، مدل مارکوف است که حالت مربوط به هر کدام از پارامترها را با توجه به حالت قبل از آن تخمین می‌زند [۱]. در ادامه مراحل مختلف پیش‌بینی مدل زمین‌شناسی به ترتیب و به صورت مختصر ارائه شده است:

الف) ارزیابی احتمال انتقال از حالت  $i$  به حالت  $j$  ( $p_{ij}$ ) و ضریب شدت انتقال حالت  $i$  ( $C_{x_i}$ ) پارامتر زمین‌شناسی موردنظر به کمک روش‌های آماری [۱۰].

$$P_{ij} = \frac{T_{ij}}{\sum_{k=1}^n T_{ik}} \quad (1)$$

که در آن  $p_{ij}$  احتمال انتقال از حالت  $i$  به حالت  $j$  و  $T_{ij}$  تعداد انتقال‌ها از حالت  $i$  به حالت  $j$  است.

$\sum_{k=1}^n T_{ik}$ : مجموع انتقال‌ها از حالت  $i$  به سایر حالت‌های پارامتر مربوطه ( $n$  تعداد کل حالات پارامتر موردنظر).

$C_{x_i}$ : ضریب شدت انتقال حالت  $i$  که عبارت است از عکس

نظر افراد متخصص برآورد نمود و از آن جهت پیش‌بینی زمان و هزینه‌ی نهایی ساخت تونل استفاده کرد.

#### ۴- بهروزرسانی مدل DAT

در روش DAT به‌واسطه‌ی ناشناخته بودن شرایط زیرسطحی قبل از شروع به ساخت، در مورد داده‌های ورودی این ابزار عدم قطعیت‌هایی وجود دارد؛ ولی با شروع فرایند ساخت و حفاری بخش‌هایی از آن می‌توان با دست‌یابی به داده‌های واقعی در این بخش‌ها، مدل DAT را بهروزرسانی نمود و درنتیجه، عدم قطعیت‌ها را در مورد زمان و هزینه‌ی نهایی ساخت تونل کاهش داد. برای بهروزرسانی DAT در صورت دست‌یابی به داده‌های واقعی که درنتیجه‌ی حفاری بخشی از آن به‌دست‌آمداند، باقیتی داده‌های واقعی را به‌جای داده‌های قبلی در موقعیت‌های مشابه جایگزین نموده و سپس کلیه‌ی مراحل روش DAT برای دو مدل زمین‌شناسی و مدل ساخت که در بخش‌های قبلی بیان شد، از اول تا آخر را دوباره اجرا نمود.

#### ۵- مدل مارکوف و شبیه‌سازی مونت‌کارلو

مدل مارکوف جهت پیش‌بینی شرایط زمین‌شناسی مسیر تونل در روش DAT بکار می‌رود. کار مدل مارکوف در روش DAT به‌گونه‌ای است که به کمک داده‌های موجود اولیه، شرایط زمین‌شناسی را برای بخش‌های حفاری نشده‌ی زمین پیش‌بینی می‌نماید. در روش DAT به‌منظور اجرای مدل مارکوف ابتدا کل مسیر تونل به بخش‌های مساوی تقسیم خواهد شد که هر بخش یک سلول نیز نامیده می‌شود. در مرحله‌ی بعد ممکن است تعداد سلول‌هایی در مسیر تونل باشند که حالات مربوط به پارامترهای در نظر گرفته شده در آن‌ها به صورت قطعی یا غیرقطعی مشخص باشند (برای مثال موقعیت گمانه‌ها و یا هر موقعیتی در مسیر تونل که داده‌های مربوط به حالات پارامترهای در نظر گرفته شده در آن‌ها مشخص باشند) که این موقعیت‌ها هر کدام در داخل یک سلول قرار خواهند گرفت و آن سلول، سلول مشاهده‌ای خواهد بود. کار مدل مارکوف، پیش‌بینی شرایط زمین‌شناسی برای پارامترهای در نظر گرفته شده درون سلول‌های مجهول به کمک سلول‌های مشاهده‌ای می‌باشد. برای مثال مطابق شکل (۲) ابتدا مدل مارکوف به کمک سلول‌های مشاهده‌ای سبزرنگ، اولین سلول مجهول را پیش‌بینی می‌کند سپس به همین ترتیب اولین

$$V_X(u) = \exp(uA_X) = I + uA_X + \frac{1}{2!} u^2 A_X^2 + \dots + \frac{1}{m!} u^m A_X^m \quad (4)$$

در معادله‌ی (۴)، I ماتریس واحد از مرتبه‌ی n (n تعداد حالت‌های پارامتر X) و m عدد خیلی بزرگی است که می‌تواند تا بی‌نهایت ادامه پیدا کند.

د) محاسبه‌ی احتمال وقوع حالت پارامتر در شرایطی که در موقعیت  $O_0$ ، حالت پارامتر به‌طور قطعی مشخص نباشد و یک تابع جرم احتمال در مورد آن داده شده باشد. برای این حالت اجازه دهید  $(u)_j S_{X_j}$  احتمال وقوع حالت j از پارامتر X در موقعیت  $u + O_0$  باشد، آنگاه معادله‌ی (۵) را خواهیم داشت [۱۲].

$$S_{X_j}(u) = \sum_{i=1}^n S_{X_i}(0) v_{X_{ij}}(u) \quad (5)$$

بعد از این که احتمال وقوع حالت تمام پارامترهای موردنظر در مسیر تونل به دست آمد، می‌توان به کمک آن‌ها پروفیل مربوط به هر پارامتر و درنهایت از ترکیب این پروفیل‌ها، پروفیل کلاس زمین را به دست آورد. هدف مدل زمین‌شناسی، تشکیل پروفیل کلاس زمین است تا از آن بتوان در مدل ساخت جهت برآورد زمان و هزینه‌های هر کلاس در هر موقعیتی در مسیر تونل استفاده کرد.

### ۳- مدل ساخت

در پژوهه‌های تونل‌سازی، اغلب به دلیل عدم قطعیت در مورد میزان زمان و هزینه موردنیاز روش حفاری و سیستم نگهداری در نظر گرفته شده، پیش‌بینی زمان و هزینه‌ی نهایی بسیار مشکل خواهد بود و موجب می‌شود که در برنامه‌ریزی‌های اولیه نتوان به نتایج دقیقی در مورد آن دست‌یافته. مدل ساخت با در نظر گرفتن فرایند ساخت در مسیر تونل برای هر کلاس زمین، زمان و هزینه موردنظر را برآورد می‌کند. هر کلاس زمین دارای یک روش حفاری و سیستم نگهداری معینی است که در طول هر سیکل از ساخت، طی یک سری فعالیت‌ها انجام می‌شود که شبکه‌ی فعالیت نام دارد. در مدل ساخت می‌توان با توجه به شبکه‌ی فعالیت مربوط به هر کلاس زمین، زمان و هزینه‌ی هر سیکل از ساخت کلاس موردنظر را با تجربه از پژوهه‌های اجرای شده در شرایط مشابه و

## ۶- به کارگیری مدل ابتکاری DAT در تونل همرو

### ۶-۱- سیمای پروژه‌ی تونل همرو

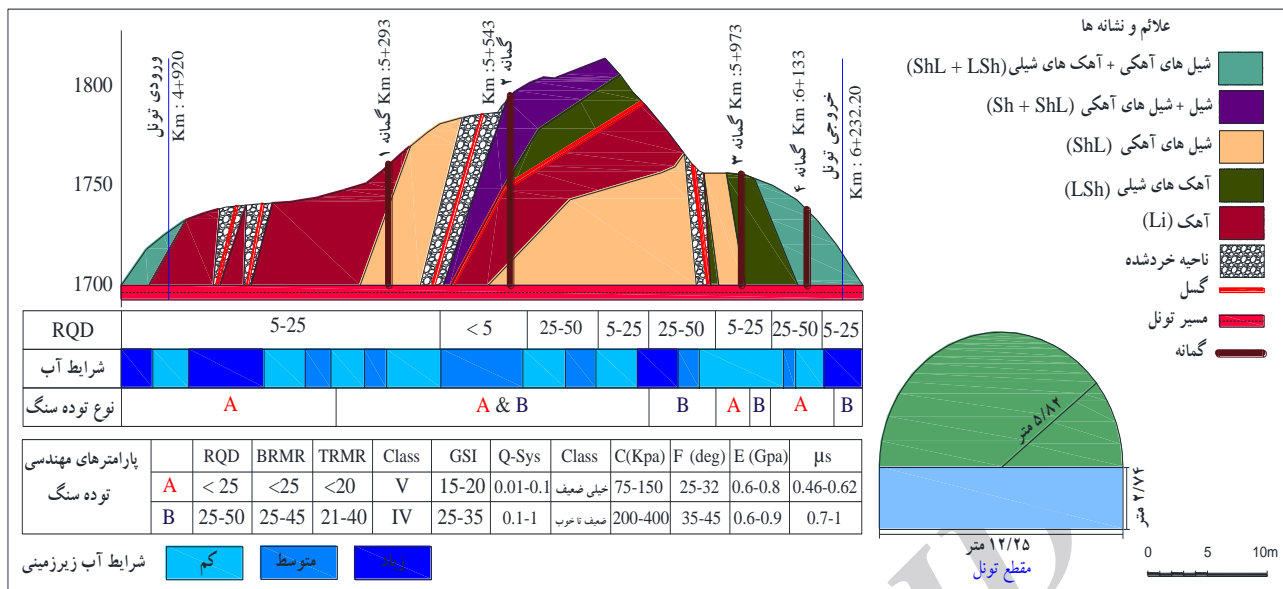
تونل راه همرو بخشی از جاده‌ی جدید در دست احداث سنندج-مریوان است که دارای طول حفاری ۱۳۱۰ متر و سطح مقطع ۹۷ مترمربع می‌باشد. این تونل در شرق استان کردستان، در ۵ کیلومتری شمال شویشه و در محدوده‌ای با طول جغرافیایی ۴۶ درجه و ۳۸ دقیقه تا ۴۶ درجه و ۴۰ دقیقه و عرض جغرافیایی ۳۵ درجه و ۲۵ دقیقه تا ۳۵ درجه و ۲۷ دقیقه واقع شده است. دهانه‌ی ورودی و خروجی تونل مذکور به ترتیب در کیلومتر ۹۲۰ + ۲۳۲ و ۶ + ۴ قرار دارد. منطقه‌ی موردمطالعه مربوط به زون سنندج-سیرجان و گستردگترین واحد چینه‌شناسی تفکیک شده در منطقه ازنظر سنی مربوط به پالتوسن ائوسن پایینی بوده و به لحاظ لیتولوژیکی مشکل از سنگ‌هایی از جنس شیل‌های ماسه‌ای همراه با عدسی‌های آهکی و سنگ‌های آتش‌فشانی می‌شود. از جمله سایر واحدهای چینه‌شناسی که در فواصل دورتر نسبت به منطقه‌ی موردمطالعه رخمنون دارند می‌توان به واحد چینه‌شناسی مربوط به کرتاسه‌ی بالایی پالتوسن اشاره کرد که ازنظر لیتولوژی شامل شیل خاکستری و قرمزرنگ، آهک بارنگ‌های خاکستری، زرد و قرمز و همچنین لایه‌های ماسه‌سنگ می‌شود. همچنین می‌توان به رخمنون‌های پراکنده‌ای از واحد سنگ-چینه‌ای در بخش‌های شمالی منطقه در نزدیکی روستای قلعه شیخان اشاره نمود که از نظر لیتولوژیکی از آهک‌های ماسه‌ای نومولیت‌دار تشکیل شده‌اند [۱۵].

درنتیجه‌ی بررسی‌های انجام‌شده در بازدیدهای زمین‌شناسی و زمین‌شناسی مهندسی صورت گرفته از منطقه، درمجموع چهار گونه‌ی زمین‌شناسی مهندسی در مسیر تونل قابل‌شناسایی و تفکیک از یکدیگر هستند. این گونه‌های زمین‌شناسی مهندسی عبارت‌اند از آهک (Li)، شیل (Sh)، تناوب شیل‌های ماسه‌ای و آهک‌های شیلی (ShL) و تناوب آهک و شیل (LSh). در شکل (۳) پروفیل طولی و سطح مقطع تونل همرو همراه با اطلاعات زمین‌شناسی و ژئوتکنیکی نشان داده شده است [۱۵].

سلول پیش‌بینی‌شده جای یکی از سلول‌های مشاهده‌ای اول را می‌گیرد و اولین سلول مجھول میان سلول‌های مشاهده‌ای جدید نیز پیش‌بینی می‌شود و این روند ادامه می‌یابد تا تمام سلول‌های مجھول پیش‌بینی شوند. درنتیجه به کمک مدل مارکوف برای هر پارامتر در نظر گرفته شده، حالات پارامتر بهصورت احتمالاتی در کل مسیر تونل در پروفیلی تحت عنوان پروفیل پارامتر به دست می‌آید.



شکل ۲: روش کار مدل مارکوف درروش DAT.  
روش شبیه‌سازی مونت‌کارلو در مدل ساخت روش DAT کاربرد دارد. در مدل ساخت بعدازینکه زمان و هزینه‌ها برای روش‌های حفاری و سیستم‌های نگهداری متناسب با شرایط زمین‌شناسی پیش‌بینی شده در نظر گرفته شد، در داخل هر سلول هرکدام از روش‌های حفاری و سیستم‌های نگهداری که زمان و هزینه‌ی مخصوص به خود را دارند با احتمال مشخصی اتفاق خواهند افتاد. روش کار شبیه‌سازی مونت‌کارلو به این صورت است که در هر بار شبیه‌سازی، در داخل هر سلول یک‌زمان و هزینه را در نظر می‌گیرد و زمان و هزینه‌های تمام سلول‌ها را در هر بار شبیه‌سازی باهم جمع می‌کند. همچنین درروش شبیه‌سازی مونت‌کارلو درمجموع دورهای شبیه‌سازی در داخل هر سلول زمان و هزینه‌ای که با احتمال بیش‌تری اتفاق افتاده باشد، بیش‌تر تکرار خواهد شد. امروزه نرم‌افزارهای زیادی به‌منظور انجام شبیه‌سازی مونت‌کارلو موجود هستند که در این مطالعه از نرم‌افزار PertMaster بهره گرفته شده است.



شکل ۳: پروفیل طولی و سطح مقطع تونل همرو [۱۵].

سابقه‌ی کاری در پروژه‌های تونل‌سازی با توجه به پروفیل طولی تونل که قبل از شروع به ساخت تهیه شده بود، برآورد شد و درنهایت از میانگین نظرهای این افراد استفاده شد. سپس با معکوس کردن طول میانگین حالات، ضربی شدت انتقال هر کدام از حالت‌های پارامترها نیز مطابق جدول (۱) به دست آمد.

جدول ۱: طول میانگین و ضربی شدت انتقال مربوط به هر حالت از هر پارامتر.

پارامتر	حالات پارامتر	طول میانگین (m)	ضربی شدت انتقال ( $m^{-1}$ )
L <sub>i</sub>	L <sub>i</sub>	320	0/0031
SH	SH	120	0/0083
SHL	SHL	780	0/0012
LSh	LSh	90	0/0111
RQD	RQD	280	0/0035
25 تا 5	5	650	0/0015
50 تا 25	5	380	0/0026
آب	کم	620	0/0016
متوسط	متوسط	260	0/0038
زیاد	زیاد	430	0/0023

## ۶-۲- مدل زمین‌شناسی تونل همرو

از جمله مهم‌ترین پارامترهایی که بر روی تونل‌زنی اثر می‌گذارند، عبارت‌اند از: نوع سنگ، RQD، جهت درزهای ناپیوستگی‌های اصلی، جریان آب، سختی، مقاومت فشاری و شیستوزیته [۱۰].

در این مطالعه چون در ابتدا داده‌های مربوط به سه پارامتر نوع سنگ، RQD و آب زیرزمینی به صورت دقیق‌تر موجود بودند و به دلیل عدم اطمینان از صحت داده‌های در دسترس مربوط به سایر پارامترها، بنابراین این سه پارامتر به عنوان پارامترهای زمین‌شناسی در نظر گرفته شدند که حالات‌های مربوط به هر کدام از پارامترها در ادامه آرائه شده است.

۱- پارامتر نوع سنگ با چهار حالت (حالت ۱: آهک (Li)، حالت ۲: شیل (Sh)، حالت ۳: تناوب شیل‌های ماسه‌ای و آهک‌های شیلی (SHL)، حالت ۴: تناوب آهک و شیل (LSh))

۲- پارامتر RQD با سه حالت (حالت ۱: کمتر از ۵، حالت ۲: ۵ تا ۲۵، حالت ۳: ۲۵ تا ۵۰)

۳- پارامتر آب زیرزمینی با ۳ حالت (حالت ۱: کم، حالت ۲: متوسط، حالت ۳: زیاد)

مطابق جدول (۱)، برای هر حالت از سه پارامتر در نظر گرفته شده، طول میانگین به کمک نظرات افراد کارشناس تونل‌سازی با حداقل تحصیلات کارشناسی ارشد در رشته‌های مهندسی معدن و زمین‌شناسی و همچنین حداقل ۵ سال

به منظور پیش‌بینی احتمال وقوع هر کدام از حالت‌های پارامترها (پروفیل پارامتر) در مسیر تونل همرو به کمک مدل مارکوف، فاصله‌ی میان هر دو سلول مشاهده‌ای به تعداد سلول‌هایی با طول هر کدام برابر ۱۰ متر مطابق شکل (۴) تقسیم شد.

ماتریس‌های پارامتر نوع سنگ:

$$P_r = \begin{bmatrix} 1 & 2 & 3 & 4 \\ 1 & 0 & 0.24 & 0.74 & 0.02 \\ 2 & 0.48 & 0 & 0.48 & 0.04 \\ 3 & 0.28 & 0.28 & 0 & 0.44 \\ 4 & 0.01 & 0.01 & 0.98 & 0 \end{bmatrix}$$

$$A_r = \begin{bmatrix} 1 & 2 & 3 & 4 \\ 1 & -0.0031 & 0.0007 & 0.0022 & 0.0002 \\ 2 & 0.0039 & -0.0083 & 0.0039 & 0.0005 \\ 3 & 0.0003 & 0.0003 & -0.0012 & 0.0006 \\ 4 & 0.00015 & 0.00015 & 0.00108 & -0.00111 \end{bmatrix}$$

ماتریس‌های پارامتر RQD:

$$P_d = \begin{bmatrix} 1 & 2 & 3 \\ 1 & 0 & 0.10 & 0.90 \\ 2 & 0.05 & 0 & 0.95 \\ 3 & 0.13 & 0.67 & 0 \end{bmatrix}$$

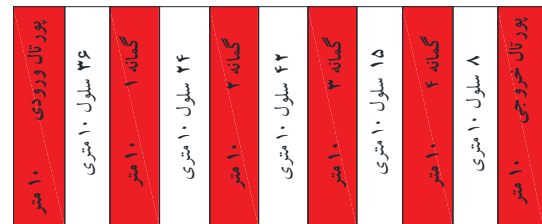
$$A_d = \begin{bmatrix} 1 & 2 & 3 \\ 1 & -0.0035 & 0.0003 & 0.0032 \\ 2 & 0.0001 & -0.0015 & 0.0014 \\ 3 & 0.0008 & 0.0018 & -0.0026 \end{bmatrix}$$

ماتریس‌های پارامتر آب زیرزمینی:

$$P_w = \begin{bmatrix} 1 & 2 & 3 \\ 1 & 0 & 0.72 & 0.28 \\ 2 & 0.50 & 0 & 0.50 \\ 3 & 0.28 & 0.72 & 0 \end{bmatrix}$$

$$A_w = \begin{bmatrix} 1 & 2 & 3 \\ 1 & -0.0016 & 0.00115 & 0.00045 \\ 2 & 0.0019 & -0.0038 & 0.0019 \\ 3 & 0.0006 & 0.0017 & -0.0023 \end{bmatrix}$$

در ادامه به کمک پرسشنامه‌هایی که در اختیار ۱۰ نفر کارشناس تونل‌سازی با مشخصات فوق‌الذکر قرار داده شد، ماتریس‌های احتمال انتقال و شدت انتقال برای هر کدام از پارامترها همان‌طور که در ادامه آورده شده است، به دست آمد. روش تعیین هر کدام از درایه‌های ماتریس احتمال انتقال به این شکل است که در ابتدا هر فرد کارشناس کل مسیر تونل را به بخش‌های مساوی که تقسیم می‌کند. سپس به کمک پروفیل طولی تونل و داده‌های موجود، برای هر پارامتر مشخص می‌کند که اگر در مسیر تونل از یک بخش تعیین‌شده وارد بخش بعدی شویم، برای چند بار حالت پارامتر تغییر می‌کند. همچنین مشخص می‌سازد که در هر انتقال، حالت پارامتر از چه حالتی به چه حالت دیگری تغییر یافته است. درصورتی که حالت پارامتر تغییر نکند و در همان حالت خود باقی بماند، تحت عنوان یک انتقال به حساب نمی‌آید به عبارتی دیگر زمانی می‌گوییم انتقال صورت گرفته است که اگر از یک بخش وارد بخش بعدی شویم، حالت پارامتر به حالتی دیگر تغییر کند به همین خاطر در ماتریس‌های احتمال انتقال، احتمال انتقال از یک حالت به خودش برابر صفر در نظر گرفته می‌شود. بعدازاینکه تعداد انتقال‌ها از یک حالت به سایر حالت‌ها برای هر پارامتر مشخص شد می‌توان درایه‌های ماتریس احتمال انتقال را محاسبه نمود. برای مثال اگر پارامتر نوع سنگ را با چهار حالت در نظر بگیریم و بخواهیم درایه‌های سطر اول ماتریس احتمال انتقال را محاسبه کنیم، تعداد انتقال از حالت اول به سایر حالت‌های ۲، ۳ و ۴ را باید داشته باشیم. برای محاسبه احتمال انتقال از حالت ۱ به حالت ۲ باید تعداد انتقال‌ها از حالت ۱ به حالت ۲ را بر مجموع کل انتقال‌ها از حالت ۱ به حالت‌های ۲، ۳ و ۴ تقسیم کنیم. سایر درایه‌ها نیز به همین صورت تعیین می‌شوند و درنهایت می‌توانیم آن‌ها را به صورت درصدی بیان کنیم. حال با توجه به فرمول ماتریس شدت انتقال که قبلًا بیان شد (فرمول (۲)), به کمک ضربی شدت انتقال و ماتریس احتمال انتقال، ماتریس شدت انتقال نیز برای هر پارامتر به دست می‌آید.



شکل ۴: تعداد و موقعیت سلول‌های مشاهده‌ای در مسیر تونل همرو.

با توجه به شکل (۴)، سلول‌های مشاهده‌ای مربوط به گمانه‌ها پورتال ورودی و خروجی تونل به صورت رنگی نشان داده شده‌اند و برای هر کدام از این حالت‌های مشاهده‌ای، یک سلول با طول ۱۰ متر در نظر گرفته شده است؛ بنابراین در کل مسیر تونل، شش سلول مشاهده‌ای موجود بودند که همه‌ی آن‌ها به صورت غیرقطعی در نظر گرفته شدند. دلیل در نظر گرفتن سلول‌های مشاهده‌ای ابتدا و انتهای تونل (در ورودی و خروجی تونل) به صورت غیرقطعی این بود که ابتدا از هر دو طرف نیاز به خاکبرداری فاصله‌ی حدود ۱۰۰ متر به دلیل میزان روباره‌ی کم بود و از آن به بعد حفاری تونل به طول ۱۳۱۰ متر شروع می‌شد؛ بنابراین به صورت قطعی برای این دو سلول، حالت‌های پارامترها با توجه به داده‌های قبل از شروع به خاکبرداری ۱۰۰ متر از ورودی و خروجی تونل مشخص نشد ولی چون به قسمت ابتدا و انتهای تونل نزدیک بود و همچنین به دلیل میزان روباره‌ی کم، توانسته شد که احتمال وقوع حالت‌های هر کدام از پارامترها به صورت غیرقطعی توسط افراد متخصص برآورد شود و درنتیجه این دو سلول به عنوان دو سلول مشاهده‌ای غیرقطعی در نظر گرفته شدند. برای چهار سلول مشاهده‌ای گمانه‌ی ۱، گمانه‌ی ۲، گمانه‌ی ۳ و گمانه‌ی ۴ نیز که مربوط به موقعیت گمانه‌ها بودند، حالت غیرقطعی در نظر گرفته شد زیرا در موقعیت گمانه‌ها با داده‌های بدست‌آمده نمی‌توان به صورت کاملاً قطعی در مورد نوع حالت پارامتر موردنظر اظهارنظر کرد.

$$V_{X_{mz_s}}^{ns} (L_s - O_{t-1}) = \begin{cases} \sum_{m=1}^n P[X(O_{t-1}) = m] \sum_{w=1}^n P[X(O_t) = w] \frac{V_{X_{z,w}}(O_t - L_s) V_{X_{mz_s}}(L_s - O_{t-1})}{V_{X_{mz_s}}(O_t - O_{t-1})} \\ \quad O_{t-1} \leq L_s < O_t \quad , \quad t = 2, 3, \dots, s \\ \sum_{w=1}^n P[X(O_s) = w] V_{X_{wz_s}}(L_s - O_s) \end{cases} \quad (6)$$

ازین‌رو این سلول‌ها نیز به صورت سلول‌های مشاهده‌ای غیرقطعی در نظر گرفته شدند و احتمال وقوع حالت‌های مختلف پارامترها برای آن‌ها توسط افراد کارشناس با بهره‌گیری از پروفیل زمین‌شناسی و داده‌های حاصل از گمانه‌ها، ارزیابی شدند. روش ارزیابی به‌گونه‌ای است که هر فرد کارشناس با توجه به داده‌های اولیه و داده‌های مربوط به موقعیت گمانه‌ها که در اختیار او قرار داده شده است، احتمال وقوع هر کدام از حالات پارامترها را در موقعیت سلول‌های مشاهده‌ای تخمین می‌زند. درنتیجه از میانگین‌گیری نظرات ۱۰ فرد کارشناس، احتمال وقوع هر حالت در داخل سلول‌های مشاهده‌ای به صورت جدول (۲) به دست آمد.

حال نوبت به تشکیل پروفیل پارامتر می‌رسد که در آن برای هر پارامتر، احتمال وقوع حالت‌های آن در تمام سلول‌ها در مسیر تونل قابل دستیابی است. جهت به دست آوردن پروفیل‌های پارامتر، چون احتمال وقوع حالت‌ها در موقعیت سلول‌های مشاهده‌ای به صورت غیرقطعی بیان شد، از فرمول (۶) استفاده شده است [۱].

فرمول (۶) مربوط به سلول‌های مجهول میان دو سلول مشاهده‌ای مانند  $O_1$  و  $O_s$  (سلول ورودی و گمانه‌ی ۱) است که احتمال وقوع هر کدام از حالت‌های سه پارامتر آب زیرزمینی، RQD و نوع سنگ را در سلول مجهول  $L_s$  پیش‌بینی می‌نماید. در فرمول (۶) که برای شکل (۵) بیان شده است، داریم:

$w$ : تابع چگالی احتمال حالت‌های یک پارامتر معین در سلول‌های مشاهده‌ای  $O_{t-1}$  و  $O_t$ .

$n$ : تعداد حالت‌های پارامتر موردنظر.

جدول ۲: احتمال وقوع هر حالت از هر پارامتر در موقعیت سلول‌های مشاهده‌ای.

پارامتر	سلول‌های مشاهده‌ای					
	گمانه ۴	گمانه ۳	گمانه ۲	گمانه ۱	ورودی	خرجهی
نوع سنگ	۰/۰۳	۰/۰۱	۰/۰۵	۰/۰۵	۰/۸۰	۰/۹۰
	۰/۰۲	۰/۰۳	۰/۵۴	۰/۰۹	۰/۱۰	۰/۰۵
	۰/۱۰	۰/۹۵	۰/۴۰	۰/۸۵	۰/۰۶	۰/۰۴
	۰/۸۵	۰/۰۱	۰/۰۱	۰/۰۱	۰/۰۴	۰/۰۱
RQD	۰/۰۱	۰/۰۵	۰/۱۵	۰/۹۵	۰/۰۹	۰/۰۳
	۰/۹۰	۰/۱۵	۰/۸۰	۰/۰۴	۰/۹۰	۰/۹۵
	۰/۰۹	۰/۸۰	۰/۰۵	۰/۰۱	۰/۰۱	۰/۰۲
	۰/۰۳	۰/۸۰	۰/۸۵	۰/۰۴	۰/۰۲	۰/۰۲
آب زیرزمینی	۰/۰۷	۰/۱۵	۰/۱۰	۰/۹۵	۰/۰۸	۰/۰۸
	۰/۹۰	۰/۰۵	۰/۰۵	۰/۰۱	۰/۹۰	۰/۹۰
						۳

سلول	X(O <sub>1</sub> )	X(L <sub>0</sub> )	X(L <sub>1</sub> )	...	X(L <sub>35</sub> )	X(O <sub>2</sub> )
حال	m	z <sub>0</sub>	z <sub>1</sub>	...	z <sub>35</sub>	w
سلول	X(O <sub>2</sub> )	X(L <sub>37</sub> )	X(L <sub>38</sub> )	...	X(L <sub>60</sub> )	X(O <sub>3</sub> )
حال	m	z <sub>37</sub>	z <sub>38</sub>	...	z <sub>60</sub>	w
سلول	X(O <sub>3</sub> )	X(L <sub>62</sub> )	X(L <sub>63</sub> )	...	X(L <sub>103</sub> )	X(O <sub>4</sub> )
حال	m	z <sub>62</sub>	z <sub>63</sub>	...	z <sub>103</sub>	w
سلول	X(O <sub>4</sub> )	X(L <sub>105</sub> )	X(L <sub>106</sub> )	...	X(L <sub>119</sub> )	X(O <sub>5</sub> )
حال	m	z <sub>105</sub>	z <sub>106</sub>	...	z <sub>119</sub>	w
سلول	X(O <sub>5</sub> )	X(L <sub>121</sub> )	X(L <sub>122</sub> )	...	X(L <sub>128</sub> )	X(O <sub>6</sub> )
حال	m	z <sub>121</sub>	z <sub>122</sub>	...	z <sub>128</sub>	w

شکل ۵ - روش پیش‌بینی احتمال وقوع هر کدام از حالت‌های پارامترها در داخل سلول‌های مجهول میان هر دو سلول مشاهده‌ای. طول هر سلول برابر ۱۰ متر در نظر گرفته شده و سلول‌های مشاهده‌ای به صورت رنگی نمایان شده‌اند.

سلول مشاهده‌ای O<sub>t</sub> به شرط این‌که حالت در سلول L<sub>.</sub> z<sub>.</sub> باشد.

سلول مشاهده‌ای O<sub>t</sub> به شرط این‌که حالت در سلول مشاهده‌ای O<sub>t-1</sub>, L<sub>.</sub> z<sub>.</sub> باشد.

سلول مشاهده‌ای O<sub>t</sub> به شرط این‌که حالت در سلول مشاهده‌ای O<sub>t-1</sub>, L<sub>.</sub> z<sub>.</sub> باشد.

بعد از پیدا کردن احتمال وقوع حالتها در سلول مجهول L<sub>.</sub> z<sub>.</sub> نوبت به سلول مجهول L<sub>1</sub> می‌رسد به گونه‌ای که در فرمول (۶)، L<sub>1</sub> جایگزین L<sub>.</sub> z<sub>.</sub> جایگزین L<sub>1</sub> خواهد شد و به همین

V<sub>X<sub>m</sub>z<sub>.</sub></sub><sup>ns</sup> (L<sub>.</sub> - O<sub>t-1</sub>) : احتمال وقوع حالت z از پارامتر X در سلول L<sub>.</sub> به شرط این‌که حالت در سلول مشاهده‌ای O<sub>t-1</sub>, m باشد (بالاترین ns معرف چند مشاهده‌ی غیرقطعی است).

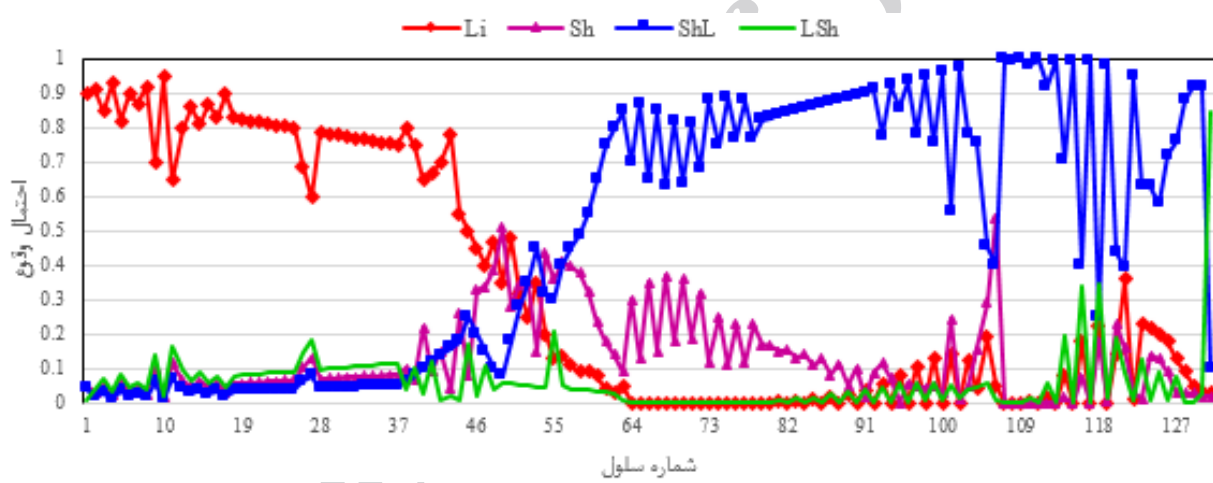
P[X(O<sub>t-1</sub>) = m] : احتمال این‌که حالت پارامتر X در سلول مشاهده‌ای O<sub>t-1</sub>, m باشد (m برای هر پارامتر از ۱ تا n متغیر است).

P[X(O<sub>t</sub>) = w] : احتمال این‌که حالت پارامتر X در سلول مشاهده‌ای O<sub>t</sub>, w باشد (w برای هر پارامتر از ۱ تا n متغیر است).

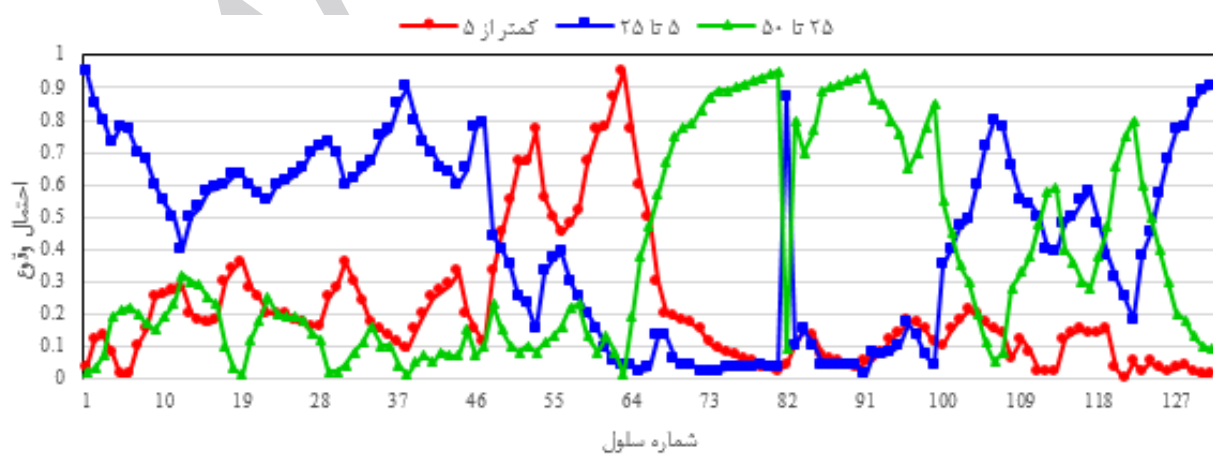
V<sub>X<sub>z</sub>w</sub> (O<sub>t</sub> - L<sub>.</sub>) : احتمال وقوع حالت w از پارامتر X در

احتمال وقوع حالات به صورت زیگزاگی و با تغییرات سریعی همراه هستند که در چنین وضعیتی می‌توان گفت نتایجی که برای ماتریس‌های احتمال انتقال و شدت انتقال به دست آمده است با نتایج حاصل از نظر افراد کارشناس برای موقعیت گمنه‌ها متفاوت و یا شباهت کمتری باهم دارند؛ بنابراین هرچه داده‌های ورودی روش DAT دقیق‌تر باشند، در پروفیل‌های پارامتر کمتر حالت زیگزاگی و تغییرات سریع برای احتمال وقوع حالات یک پارامتر در مسیر تونل اتفاق می‌افتد. البته چنین مشکلی می‌تواند حین حفاری تونل و با دست‌یابی به داده‌های واقعی پارامترهای در نظر گرفته شده برای بخش‌های حفاری شده برطرف شود و کمتر با چنین تغییرات سریعی مواجه شد. یکی از موارد مهمی هم که در این مطالعه مورد توجه قرار گرفته است همین موضوع است که در قسمت به روزرسانی داده‌ها حین حفاری به آن پرداخته خواهد شد.

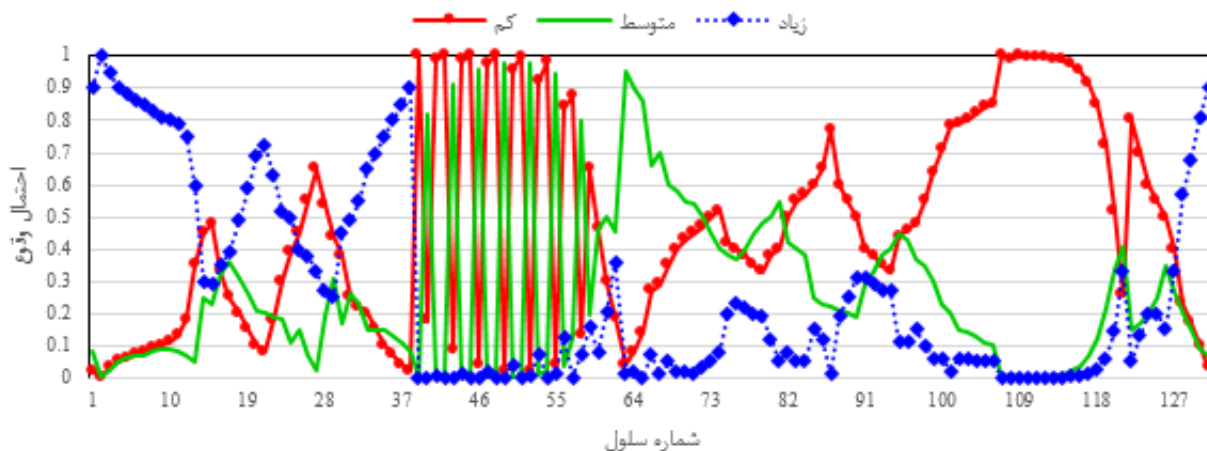
ترتیب برای سایر سلوول‌های مجھول تا به سلوول مجھول آخر در فاصله‌ی میان دو مشاهده می‌رسد. به منظور پیدا کردن احتمال وقوع هر کدام از حالت‌های پارامترهای در نظر گرفته شده، فرمول (۶) در نرم‌افزار MATLAB کدنویسی شد [۱۶]. درنهایت احتمال وقوع حالات‌ی هر پارامتر در داخل هر سلوول در مسیر تونل، مطابق شکل‌های (۶، ۷ و ۸) به دست آمد. این پروفیل‌ها که تحت عنوان پروفیل پارامتر از آن‌ها نامبرده می‌شود اگر با پروفیل طولی تونل که در شکل (۳) نشان داده شد مقایسه شوند، ارتباط خوبی را می‌توان میان آن‌ها مشاهده کرد به طوری که اگر در پروفیل طولی تونل در موقعیتی یک حالت مشخصی از یک پارامتر اتفاق افتاده باشد در پروفیل پارامتر نیز همان حالت در همان موقعیت در بیش‌تر موارد با احتمال بیش‌تری اتفاق افتاده است. همچنین در پروفیل‌های پارامتر در بعضی از موقعیت‌ها



شکل ۶: پروفیل پارامتر نوع سنگ.



شکل ۷: پروفیل پارامتر RQD.



شکل ۸: پروفیل پارامتر شرایط آب زیرزمینی.

جدول ۳: معرفی بردارهای زمین‌شناسی مربوط به هر کدام از کلاس‌های زمین در نظر گرفته شده.

حالت پارامتر آب زیرزمینی	حالت پارامتر RQD	حالت پارامتر	حالت پارامتر سنگ	شماره کلاس زمین
۱,۲,۳	۱		۱,۲,۳,۴	۱
۲,۳	۲		۲	۲
۱	۲		۲	۲
۱,۲,۳	۲		۱,۴	۳
۳	۳		۱,۳	۳
۲	۳		۱,۲,۳	۴
۳	۳		۲,۴	۴
۱,۲,۳	۲		۳	۵
۱	۳		۱,۲,۳,۴	۵
۲	۳		۴	۵

برای تشکیل پروفیل کلاس زمین، از بردارهای زمین‌شناسی مربوط به هر پارامتر در جدول (۳) و داده‌های به دست آمده برای احتمال وقوع حالت‌های هر پارامتر استفاده شد.

برای این کار، ابتدا داده‌های به دست آمده برای تشکیل پروفیل‌های پارامتر در نرم‌افزار Excel وارد شدند. سپس با توجه به جدول (۳) که بردار یا بردارهای زمین‌شناسی هر کلاس زمین را معرفی می‌نماید، احتمال وقوع هر کدام از کلاس‌های زمین در داخل هر سلوی در نرم‌افزار Excel به دست آمد.

با توجه به پارامترها و حالات در نظر گرفته شده برای هر کدام از آن‌ها، در کل  $36 = (4 \times 3^3)$  شرایط (بردار) مختلف زمین‌شناسی می‌تواند در کل مسیر تونل اتفاق بیفتد. بدیهی است که نمی‌توان برای هر کدام از این شرایط یک روش حفاری و سیستم نگهداری در نظر گرفت بلکه چند روش حفاری و سیستم نگهداری (در این مطالعه ۵ تا) می‌توان در نظر گرفت که هر کدام برای تعدادی از این بردارهای زمین‌شناسی مناسب باشند. این بردارهای زمین‌شناسی به کمک پرسشنامه در تعداد ۵ کلاس مطابق جدول (۳) جای گرفتند که مشخصات مربوط به هر کدام از کلاس‌های زمین در نظر گرفته شده در جدول (۴) آمده است. برای دست‌یابی به جداول (۳) و (۴) نیازی نیست که از نظر چند فرد کارشناس استفاده شود و تنها یک فرد کارشناس با تجربه در زمینه‌ی ساخت چنین تونل‌های جاده‌ای کفایت می‌کند. در این مطالعه برای دست‌یابی به این داده‌ها از نظر فردی کارشناس با مدرک تحصیلی کارشناسی ارشد رشته‌ی مهندسی معدن/گرایش مکانیک سنگ با حداقل ۱۵ سال سابقه‌ی کاری در زمینه‌ی ساخت تونل‌های کوهی و جاده‌ای بهره گرفته شد. در ابتدا فرد کارشناس با تجربه از پروژه‌های اجرشده‌ی قبلی در شرایط مشابه پنج کلاس زمین از خیلی ضعیف تا متوسط تا خوب مطابق جدول (۴) در نظر گرفت. سپس هر کدام از شرایط مختلف زمین‌شناسی با توجه به پارامترها و حالات مختلف در نظر گرفته شده برای هر کدام از آن‌ها را در کلاس قابل اجرا برای آن جای داد و درنهایت جدول (۴) به دست آمد.

(RQD) و حالت k از پارامتر آب زیرزمینی (k) یکی از سه حالت پارامتر آب زیرزمینی با احتمال مشخصی اتفاق می‌افتد؛ بنابراین برای پیدا کردن احتمال وقوع هر کلاس زمین در یک سلول معین بایستی برای هر بردار (i,j,k) مربوط به آن کلاس، احتمال وقوع حالت  $\alpha$ ،  $\beta$  و  $k$  را در داخل آن سلول مشخص نموده و سپس این احتمال‌ها را برای هر بردار در هم ضرب نمود. اگر کلاس زمین شامل چند بردار زمین‌شناسی باشد، برای هرکدام از بردارها باید در داخل هر سلول این محاسبات را انجام داده و درنهایت آن‌ها را باهم جمع نمود تا احتمال وقوع آن کلاس در داخل هر سلول به دست آید.

در ادامه با توجه به مطالب ارائه شده، چگونگی دست‌یابی به احتمال وقوع کلاس زمین ۳ در داخل سلول ۱ نشان داده شده است:

$$\begin{aligned} P[g(l) \text{ belongs to } GC_3] &= P[g(l) = g_{11}] + P[g(l) = g_{12}] \\ &+ P[g(l) = g_{13}] + P[g(l) = g_{14}] \\ &+ P[g(l) = g_{15}] + P[g(l) = g_{16}] \\ &+ P[g(l) = g_{17}] + P[g(l) = g_{18}] \\ &= P[r(l) = 1 \text{ and } d(l) = 2 \text{ and } w(l) = 1] \\ &+ P[r(l) = 1 \text{ and } d(l) = 2 \text{ and } w(l) = 2] \\ &+ P[r(l) = 1 \text{ and } d(l) = 2 \text{ and } w(l) = 3] \\ &+ P[r(l) = 4 \text{ and } d(l) = 2 \text{ and } w(l) = 1] \\ &+ P[r(l) = 4 \text{ and } d(l) = 2 \text{ and } w(l) = 2] \\ &+ P[r(l) = 4 \text{ and } d(l) = 2 \text{ and } w(l) = 3] \\ &+ P[r(l) = 1 \text{ and } d(l) = 3 \text{ and } w(l) = 1] \\ &+ P[r(l) = 3 \text{ and } d(l) = 3 \text{ and } w(l) = 1] \\ &\quad [g(l) \text{ belongs to } GC_1] \\ &= P[r(l) = 1] * P[d(l) = 2] * P[w(l) = 1] \\ &+ P[r(l) = 1] * P[d(l) = 2] * P[w(l) = 2] \\ &+ P[r(l) = 1] * P[d(l) = 2] * P[w(l) = 3] \\ &+ P[r(l) = 4] * P[d(l) = 2] * P[w(l) = 1] \\ &+ P[r(l) = 4] * P[d(l) = 2] * P[w(l) = 2] \\ &+ P[r(l) = 4] * P[d(l) = 2] * P[w(l) = 3] \\ &+ P[r(l) = 1] * P[d(l) = 3] * P[w(l) = 1] \\ &+ P[r(l) = 3] * P[d(l) = 3] * P[w(l) = 1] \end{aligned}$$

#### جدول ۴: مشخصات مربوط به هرکدام از کلاس‌های زمین.

کلاس زمین	مشخصات	شماره‌ی
روش تونل‌های جانبی - نگهداری: IPE 180 (خوب)	فاصله‌داری $0/5 - 0/75$ متر و ۲۰ سانتی‌متر شاتکریت تقویت‌شده به‌وسیله‌ی دولایه مش $\varphi 8 @ 100 \times 100$ mm	۱
روش دیافراگم مرکزی - نگهداری: IPE 180 (ضعیف)	فاصله‌داری $1/20 - 1/75$ متر و ۲۰ سانتی‌متر شاتکریت تقویت‌شده به‌وسیله‌ی دولایه مش $\varphi 6 @ 100 \times 100$ mm	۲
روش طاق و پاطاق - نگهداری: IPE 180 (ضعیف تا متوسط)	فاصله‌داری $1/2 - 1/15$ متر و ۲۰ سانتی‌متر شاتکریت تقویت‌شده به‌وسیله‌ی دولایه مش $\varphi 8 @ 100 \times 100$ mm	۳
روش طاق و پاطاق - نگهداری: IPE 180, راک (متوفی)	بولت تمام تزییقی، $\varphi 25$ mm, L : 4-6 m فاصله‌داری $2 \times 2$ و ۱۵ سانتی‌متر شاتکریت تقویت‌شده به‌وسیله‌ی دولایه مش $\varphi 6 @ 100 \times 100$ mm	۴
روش طاق و پاطاق - نگهداری: IPE 180, راک (متوفی تا خوب)	بولت تمام تزییقی، $\varphi 25$ mm, L : 4-6 m فاصله‌داری $2 \times 2$ و ۱۰ سانتی‌متر شاتکریت تقویت‌شده به‌وسیله‌ی یک‌لایه مش $\varphi 6 @ 100 \times 100$ mm	۵

به‌منظور بیان شیوه‌ی کار در نرم‌افزار Excel جهت دست‌یابی به احتمال وقوع هر کلاس زمین در داخل هرکدام از سلول‌ها برای این مطالعه، کلاس زمین ۳ را در نظر می‌گیریم که مطابق جدول (۳) شامل ۸ بردار زمین‌شناسی زیر است:

$$\begin{aligned} g_{11} &= (1, 2, 1) & g_{12} &= (1, 2, 2) \\ g_{13} &= (1, 2, 3) & g_{14} &= (4, 2, 1) \\ g_{15} &= (4, 2, 2) & g_{16} &= (4, 2, 3) \\ g_{17} &= (1, 3, 3) & g_{18} &= (3, 3, 3) \end{aligned}$$

در این مطالعه اگر هرکدام از بردارها را به صورت (i,j,k) در نظر بگیریم،  $\alpha$ ،  $\beta$  و  $k$  به ترتیب بیان‌کننده حالت پارامتر نوع سنگ، RQD و آب زیرزمینی هستند؛ بنابراین بردار (i,j,k) برای یک کلاس زمین معین به این معنی است که در این کلاس برای هر سلول، حالت ۱ از پارامتر نوع سنگ (یکی از چهار پارامتر نوع سنگ)، حالت  $j$  از پارامتر RQD (یکی از سه حالت پارامتر

وقوع هر کدام از کلاس‌های زمین را در داخل تمام سلول‌ها به دست می‌دهد و به عنوان پروفیل کلاس زمین شناخته شده است. هدف مدل زمین‌شناسی، دست‌یابی به پروفیل کلاس زمین است تا بتوان از آن به عنوان ورودی مدل ساخت استفاده نمود.

در شکل (۹) نیز همانند پروفیل‌های پارامتر، حالت زیگزاگی و تغییرات سریع در احتمال وقوع کلاس‌های زمین مشاهده می‌شود که این وضعیت نیز به دلیل همان پروفیل‌های پارامتر است به گونه‌ای که اگر داده‌های اولیه دقیق نباشند علاوه بر پروفیل‌های پارامتر، بر روی پروفیل کلاس زمین هم تأثیرگذار هستند و یا به عبارتی هر چه پروفیل‌های پارامتر دقیق‌تر باشند، پروفیل کلاس زمین دقیق‌تری به دست می‌آید.

$P[g(l) \text{ belongs to } GC_3]$ : احتمال وقوع کلاس زمین ۳ در سلول  $l$ .

$r(l)$ : حالت پارامتر نوع سنگ در سلول  $l$

$d(l)$ : حالت پارامتر RQD در سلول  $l$

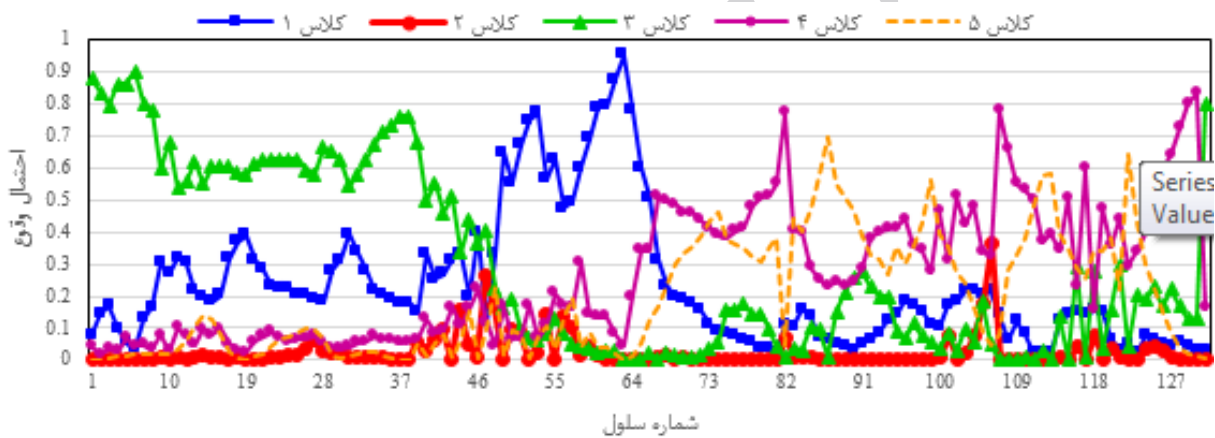
$w(l)$ : حالت پارامتر آب زیرزمینی در سلول  $l$

$P[r(l) = i]$ : احتمال این که حالت پارامتر نوع سنگ در سلول  $l$ ،  $i$  باشد.

$P[d(l) = j]$ : احتمال این که حالت پارامتر RQD در سلول  $l$ ،  $j$  باشد.

$P[w(l) = k]$ : احتمال این که حالت پارامتر آب زیرزمینی در سلول  $l$ ،  $k$  باشد.

برای سایر کلاس‌های زمین نیز به این صورت عمل شد و درنهایت با استفاده از نتایج بدست‌آمده برای هر کلاس زمین، پروفیلی مطابق شکل (۹) به دست آمد. این پروفیل، احتمال کلاس ۱



شکل ۹: پروفیل کلاس زمین.

حداکثر برای هر سیکل ساخت از کلاس‌های زمین به دست آید. سپس از میانگین‌گیری نظرهای ارائه شده به وسیله افراد کارشناس مختلف برای هر کلاس زمین، زمان و هزینه‌ی حداقل، متوسط و حداکثر به ازای هر ده متر ساخت (هر سلول) مطابق جدول (۵) به دست آمد. همچنین از آنجایی که هزینه‌های ساخت سال به سال در حال افزایش است، بنابراین، میزان حداقل، متوسط و حداکثر افزایش هزینه‌ها به صورت سالیانه توسط افراد کارشناس به دست آمد و درنهایت با تبدیل این افزایش هزینه‌ها برای هر ده متر از کلاس‌های زمین، میزان حداقل، متوسط و حداکثر افزایش هزینه‌ها به صورت سالیانه نیز برای هر سلول مطابق جدول (۵) به دست آمد.

نکته‌ای که بایستی در این مطالعه مدنظر قرار گیرد، این است

## ۷- مدل ساخت برای تونل همرو

در مدل ساخت، زمان و هزینه‌ی اجرای تونل در هر سلول برای هر کلاس زمین به دست می‌آید. به منظور برآورد زمان و هزینه برای هر سلول (۱۰ متر) در تونل همرو، به کمک پرسشنامه از افراد کارشناس (۱۰ نفر) خواسته شد که ابتدا برای هر کدام از کلاس‌های زمین، فعالیت‌هایی که یک سیکل ساخت (حفاری و نگهداری) از کلاس موردنظر را کامل نماید در نظر بگیرند؛ سپس به کمک این فعالیت‌ها، میزان زمان و هزینه‌ی حداقل، متوسط و حداکثر مربوط به هر فعالیت (برای سال ۱۳۹۴) را با توجه به اجره‌های اجراشده‌ی قبلی در شرایط زمین‌شناسی مشابه تقریب زده تا درنهایت زمان و هزینه‌ی حداقل، متوسط و

داده‌ها در نرم‌افزار PertMaster، می‌توان نسبت به اجرای شبیه‌سازی مونت کارلو اقدام نمود. در خلال اجرای شبیه‌سازی، برنامه‌ی تهیه شده به تعداد مشخصی تکرار می‌شود. در هر یک از این تکرارها، مقادیر غیرقطعی برنامه (در این مطالعه زمان و هزینه) بر اساس توزیع‌ها و داده‌های واردشده به صورت تصادفی تعیین می‌شوند. نرم‌افزار PertMaster در انتهای هر تکرار، میزان زمان و هزینه‌ی نهایی را در خود ذخیره‌سازی می‌نماید. پس از اتمام کلیه‌ی تکرارها، از این مقادیر برای رسم نمودارهای موردنظر و نیز تهیه‌یتابع احتمالی مربوط به اجرای هر یک از این موارد استفاده می‌شود.

به دلیل این‌که برای هر کدام از زمان و هزینه‌ها سه مقدار حداقل، متوسط و حداکثر موجود بود، بنابراین در نرم‌افزار PertMaster به منظور اجرای شبیه‌سازی از توابع توزیع مثلثی استفاده شد.

در نهایت بعد از اجرای شبیه‌سازی مونت کارلو (برای ۱۰۰۰۰ بار تکرار)، نمودار پراکندگی زمان – هزینه به صورت شکل (۱۰) به دست آمد. در شکل (۱۰) زمان و هزینه‌ی حداقل و حداکثر نشان داده شده است و می‌توان به عنوان یک حالت بهینه نقطه‌ای را به عنوان زمان و هزینه‌ی نهایی ساخت تونل انتخاب کرد که دارای بیشترین تکرار در اجرای شبیه‌سازی‌ها باشد.

که در پرسشنامه، جهت برآورد زمان و هزینه‌ها برای هر سیکل ساخت از یک کلاس زمین معین، از افراد کارشناس خواسته شد تا فرض کنند تونل تنها از یک طرف (ورودی یا خروجی) حفاری شود و نتایج به دست آمده برای زمان و هزینه‌های ساخت نیز برای این فرض است. هم‌چنین در برآورد زمان و هزینه‌ها، روش ایمنی کف تونل (عملیات مربوط به ساخت جاده‌ی تونل) در نظر گرفته نشده است.

حال بعد از دست‌یابی به زمان و هزینه‌های اجرای ساخت هر سلول (ده متر طول) برای هر کلاس زمین، نوبت به تخمین زمان و هزینه‌ی نهایی ساخت کل تونل می‌رسد. به منظور برآورد زمان و هزینه‌ی نهایی ساخت تونل، باید زمان و هزینه‌ی تمام سلول‌ها (۱۳۱ سلول) را باهم جمع نمود. از آنجایی که در داخل هر سلول، هر کدام از کلاس‌های زمین با احتمال مشخصی اتفاق می‌افتد (پروفیل کلاس زمین)، می‌توان برای ارزیابی زمان و هزینه‌ی نهایی ساخت کل تونل، روش شبیه‌سازی مونت کارلو را به کار برد.

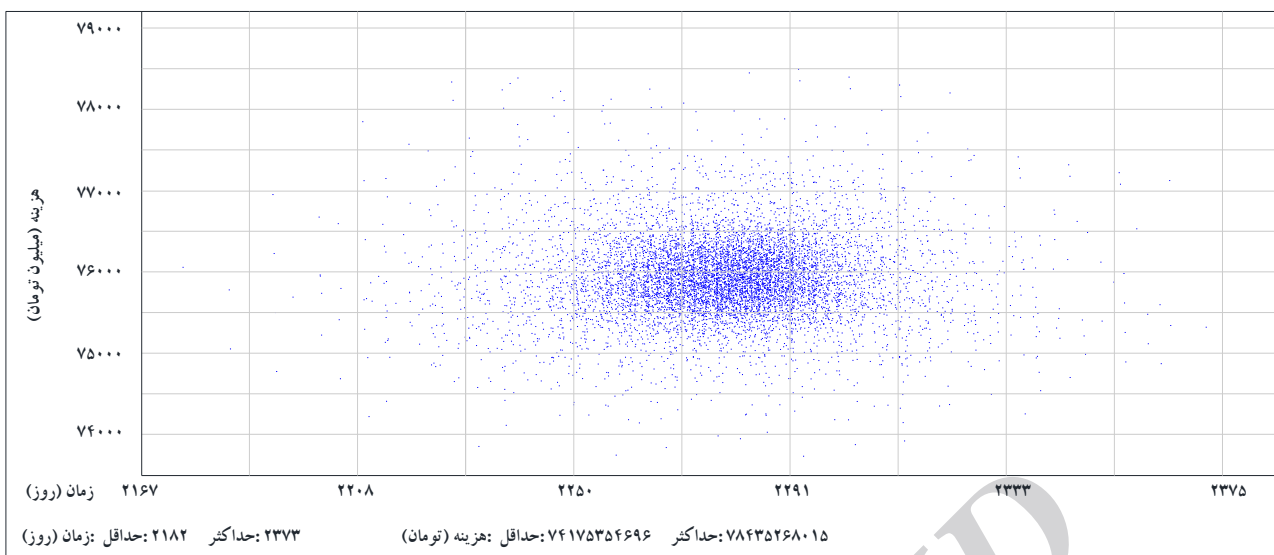
#### ۸- برآورد احتمالاتی زمان و هزینه‌ی ساخت تونل

#### همرو با استفاده از روش شبیه‌سازی مونت کارلو

در این مقاله، برای انجام روش شبیه‌سازی مونت کارلو، نرم‌افزار PertMaster مورد استفاده قرار گرفت [۱۷]. پس از وارد نمودن

جدول ۵: زمان و هزینه‌ی مربوط به هر سلول (۱۰ متر) از کلاس زمین موردنظر.

کلاس زمین	شماره‌ی کلاس زمین	هزینه به ازای هر سلول (میلیون تومان)						زمان به ازای هر سلول (روز)					
		حداقل	متوسط	حداکثر	حداقل	متوسط	حداکثر	حداقل	متوسط	حداکثر	حداقل	متوسط	حداکثر
۵ - ۱۰	۱	۱۵ - ۲۰	۲۵ - ۳۰	۳۵۰	۳۸۵/۶۳	۴۲۴/۴۵	۱۳/۴	۱۶/۷	۲۰	۱			
۵ - ۱۰	۲	۱۵ - ۲۰	۲۵ - ۳۰	۳۱۸/۳۵	۳۵۰	۳۸۵/۶۳	۱۱/۷	۱۴/۲	۱۶/۷	۲			
۵ - ۱۰	۳	۱۵ - ۲۰	۲۵ - ۳۰	۲۷۶/۷۸	۳۱۸/۳۵	۳۵۰	۱۰	۱۱/۷	۱۴/۲	۳			
۵ - ۱۰	۴	۱۵ - ۲۰	۲۵ - ۳۰	۲۳۶/۲۰	۲۷۶/۷۸	۳۱۸/۳۵	۸/۴	۱۰	۱۱/۷	۴			
۵ - ۱۰	۵	۱۵ - ۲۰	۲۵ - ۳۰	۱۷۲/۹۶	۲۳۶/۲۰	۲۷۶/۷۸	۶/۳	۸/۴	۱۰	۵			



شکل ۱۰: نمودار پراکندگی زمان - هزینه‌ی ساخت تونل قبل از بهروزرسانی DAT.

جدول (۶) احتمال وقوع حالت‌های تمام پارامترها را در موقعیت سلول‌های مشاهده‌ای بعد از بهروزرسانی نشان می‌دهد. درنهایت پروفیل‌های پارامتر و کلاس زمین بعد از بهروزرسانی مطابق شکل‌های (۱۲) تا (۱۵) به دست آمدند.

در بخش‌های قبلی گفته شد که حالت زیگزاگی و تغییرات سریع در پروفیل‌های پارامتر و نیز پروفیل کلاس زمین ناشی از عدم همخوانی داده‌های مربوط به موقعیت گمانه‌ها و ماتریس‌های احتمال انتقال و شدت انتقال می‌باشد. حال در این بخش بعد از حفاری ۱۰۰ متر از هر دو بخش ورودی و خروجی تونل و نیز با تأثیر دادن داده‌های واقعی این بخش‌های حفاری شده برای پارامترهای در نظر گرفته شده در مدل، حالت‌های زیگزاگی و تغییرات سریع در احتمال وقوع حالات پارامترها و کلاس‌های زمین خیلی کمتر شده است و درنتیجه‌ی آن مطابق شکل (۱۶) زمان و هزینه‌های ساخت تونل با عدم قطعیت‌های کمتری به دست آمدند.



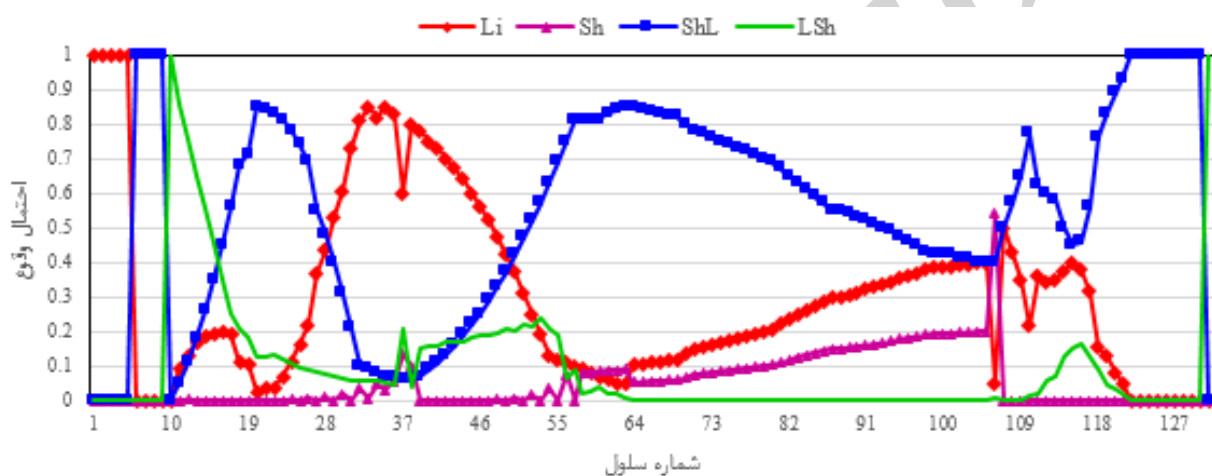
شکل ۱۱: تعداد و موقعیت سلول‌های مشاهده‌ای در مسیر تونل همرو بعد از بهروزرسانی.

## ۹- بهروزرسانی مدل برای تونل همرو به کمک داده‌های حین حفاری

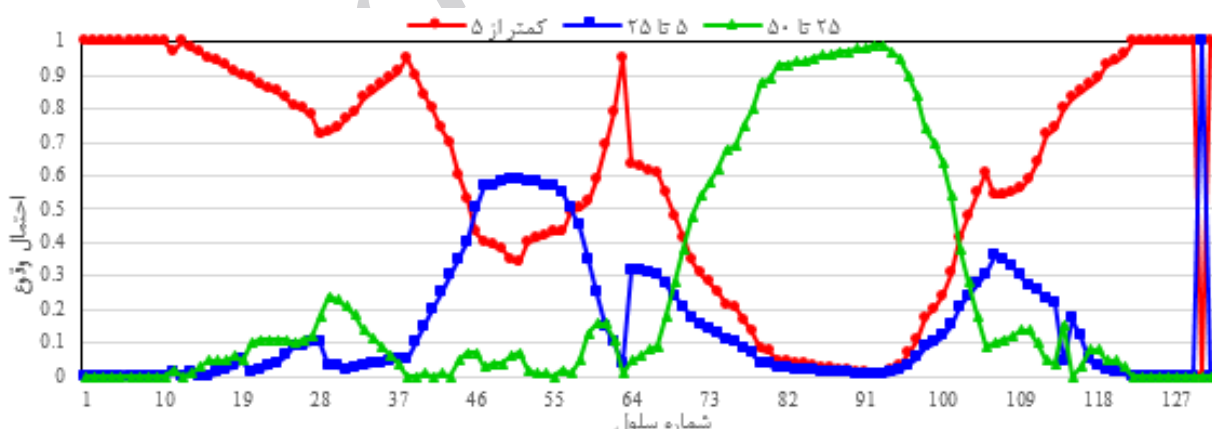
به‌منظور بهروزرسانی مدل ابتکاری DAT در تونل همرو، داده‌های واقعی مربوط به حالات پارامترها به‌جای داده‌های قبلی در موقعیت‌های مشابه برای ۱۰۰ متر اول ورودی و خروجی تونل جایگزین شدند و همچنین ماتریس‌های احتمال انتقال و شدت انتقال جدیدی به‌واسطه‌ی تغییر در ضربیت شدت انتقال و وسعت هرکدام از حالت‌های پارامترها، توسط افراد کارشناسی به دست آمد. شکل (۱۱) تعداد و موقعیت سلول‌های مشاهده‌ای را بعد از بهروزرسانی نشان می‌دهد. همچنان که مشاهده می‌شود، برای بهروزرسانی مدل از پنج سلول مشاهده‌ای استفاده شده است؛ زیرا بعد از حفاری ۱۰۰ متر از هر دو طرف ورودی و خروجی، سینه‌کار تونل به ترتیب تا انتهای سلول شماره‌ی ۱۰ و سلول گمانه‌ی ۴ رسیده است؛ بنابراین در بهروزرسانی مدل، داده‌های واقعی برای بخش‌های حفاری شده‌ی تونل در نظر گرفته می‌شود. همچنین برای بهروزرسانی مدل در بخش‌های حفاری نشده، سلول انتهایی حفاری شده از هر دو طرف (سلول شماره‌ی ۱۰ و سلول مربوط به گمانه‌ی ۴) به عنوان سلول‌های مشاهده‌ای قطعی در نظر گرفته می‌شوند. پس با این وجود باید از سه سلول مشاهده‌ای غیرقطعی (سلول‌های مربوط به گمانه‌های ۱، ۲ و ۳) و دو سلول مشاهده‌ای قطعی در بهروزرسانی مدل برای بخش حفاری نشده استفاده نمود.

جدول ۶: احتمال وقوع هر حالت از هر پارامتر در موقعیت سلول‌های مشاهده‌ای بعد از بهروزرسانی.

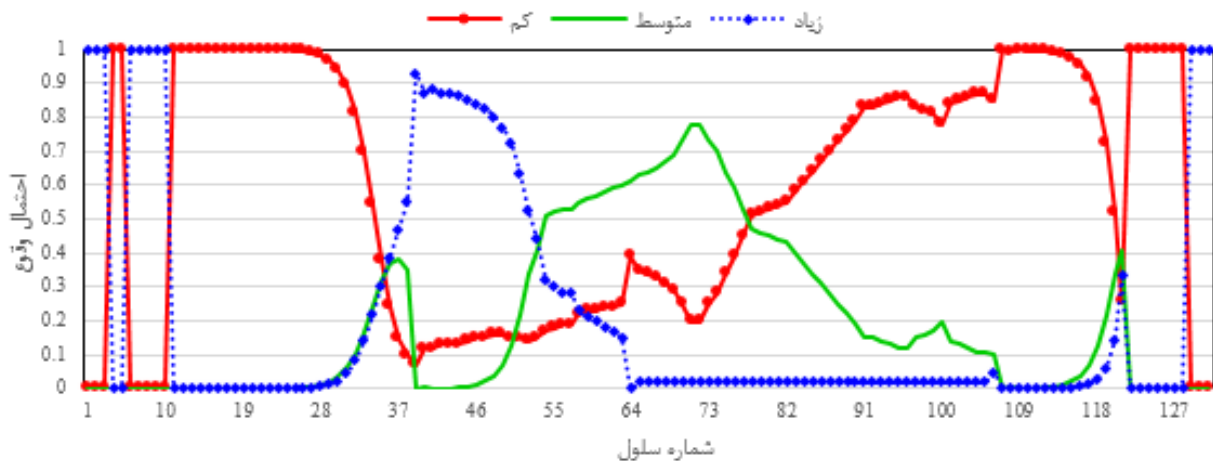
سلول‌های مشاهده‌ای						پارامتر
سلول	۱۰	۱	۲	۳	۴	
نوع سنگ	.	۰/۰۵	۰/۰۵	۰/۸۰	.	حالات
	.	۰/۵۴	۰/۹	۰/۱۰	.	۲
	۱	۰/۴۰	۰/۸۵	۰/۰۶	.	۳
	.	۰/۰۱	۰/۰۱	۰/۰۴	۱	۴
<i>RQD</i>	۱	۰/۱۵	۰/۹۵	۰/۰۹	۱	حالات
	.	۰/۸۰	۰/۰۴	۰/۹۰	.	۲
	.	۰/۰۵	۰/۰۱	۰/۰۱	.	۳
آب زیرزمینی	۱	۰/۸۵	۰/۰۴	۰/۰۲	.	حالات
	.	۰/۱۰	۰/۹۵	۰/۰۸	.	۲
	.	۰/۰۵	۰/۰۱	۰/۹۰	۱	۳



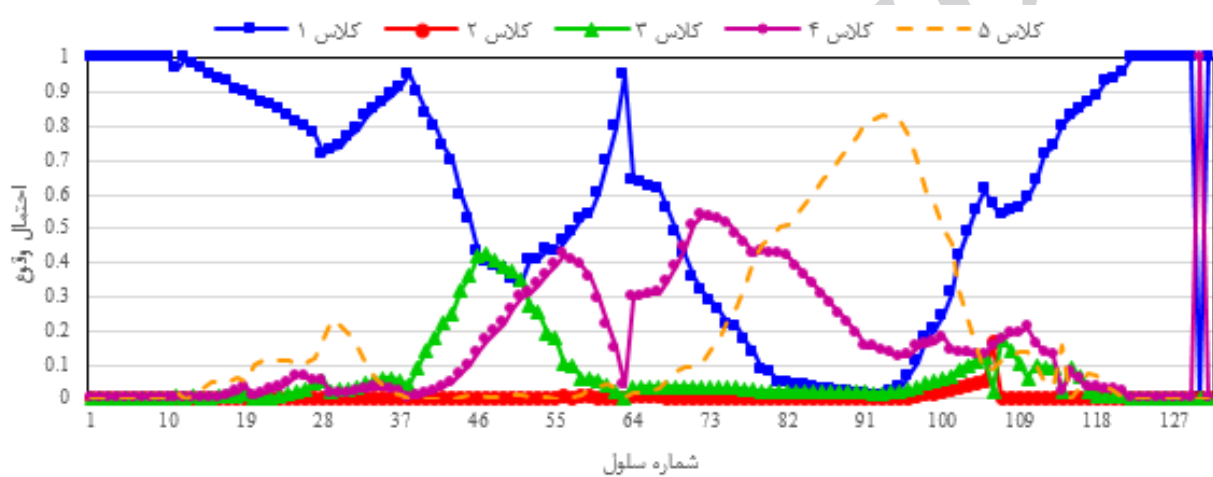
شکل ۱۲: پروفیل پارامتر نوع سنگ بعد از بهروزرسانی.



شکل ۱۳: پروفیل پارامتر RQD بعد از بهروزرسانی.



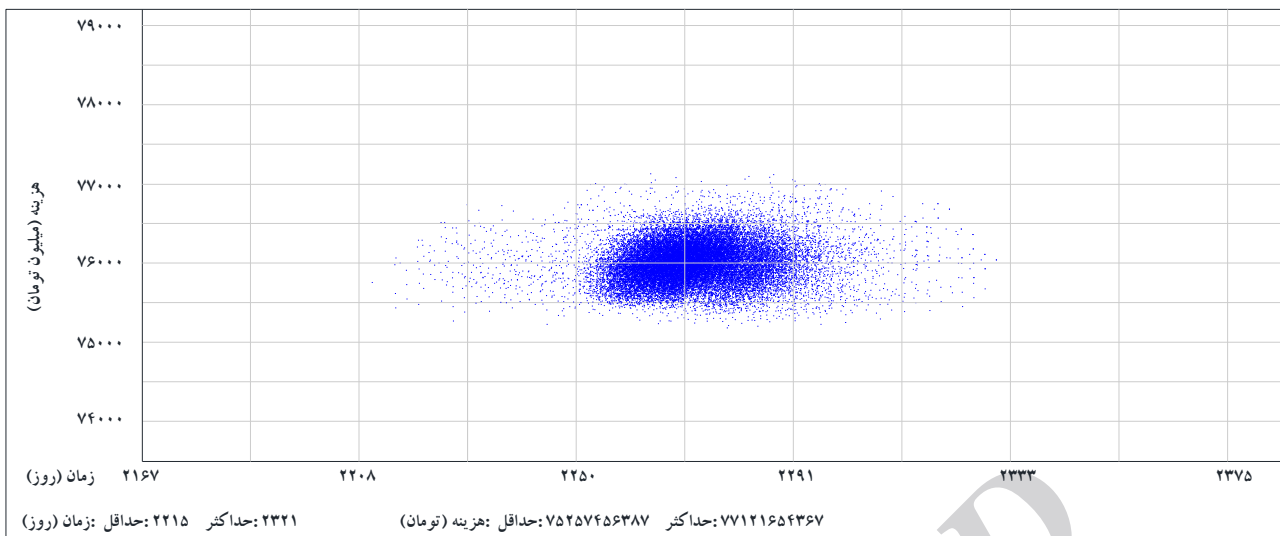
شکل ۱۴: پروفیل پارامتر آب زیرزمینی بعد از بهروزرسانی.



شکل ۱۵: پروفیل کلاس زمین بعد از بهروزرسانی.

تغییر کرد. همان‌طور که از شکل (۱۶) مشخص است، میزان حداقل و حداکثر زمان و هزینه‌ها به هم‌دیگر نزدیک‌تر شده‌اند و این یعنی عدم قطعیت‌های مربوط به زمان و هزینه‌ی ساخت تونل درنتیجه‌ی بهروزرسانی، کاهش یافته است.

بعد از بهروزرسانی پروفیل کلاس زمین، بهروزرسانی داده‌های ورودی در نرم‌افزار PertMaster جهت اجرای شبیه‌سازی مومنت‌کارلو انجام شد. درنتیجه‌ی این شبیه‌سازی‌ها، نمودار پراکندگی زمان–هزینه برای تونل همرو به صورت شکل (۱۶)



شکل ۱۶: نمودار پراکندگی زمان - هزینه‌ی ساخت تونل بعد از بهروزرسانی مدل.

#### ۱۰- نتیجه‌گیری

هزینه‌ی ساخت کل این تونل به صورت احتمالاتی پیش‌بینی شد. درنتیجه میزان زمان حداقل و حداکثر به ترتیب برابر ۲۱۸۲ و ۲۳۷۳ روز و همچنین میزان هزینه‌ی حداقل و حداکثر به ترتیب برابر ۶,۹۶ و ۱۵ روز ۷۴,۱۷۵,۳۵۴ و ۷۸,۴۳۵,۲۶۸,۰ تومان به دست آمد. سپس با بهروزرسانی داده‌ها در هنگام ساخت برای ۱۰۰ متر در هر کدام از موقعیت‌های ورودی و خروجی تونل، مدل ابتکاری DAT بهروزرسانی شد و درنتیجه عدم قطعیت‌ها نسبت به حالت قبل از بهروزرسانی برای زمان و هزینه کاهش یافت؛ به‌گونه‌ای که میزان زمان حداقل و حداکثر به ترتیب برابر ۲۲۱۵ و ۲۳۲۱ روز و همچنین میزان هزینه‌ی حداقل و حداکثر به ترتیب برابر ۳۶۷,۷۷,۱۲۱,۶۵۴ و ۷۵,۲۵۷,۴۵۶,۳۸۷ تومان به دست آمد.

عدم قطعیت زمین‌شناسی، منبع اصلی ریسک در ساخت زیرزمینی است که اغلب منجر به فرض نمودن بدترین شرایط زمین‌شناسی ممکن می‌شود و درنتیجه، هزینه‌ها به مقدار قابل‌توجهی افزایش می‌یابد. انتخاب حفاری و نگهداری بر اساس شرایط زمین‌شناسی موجود، منجر به صرفه‌جویی قابل‌توجهی در طول ساخت خواهد شد. به‌منظور کاهش عدم قطعیت‌ها، ابزارهای مختلفی ارائه شده است که از آن جمله می‌توان به ابزار DAT اشاره نمود. ابزاری آماری است که با استفاده از داده‌های موجود، به پیش‌بینی احتمالاتی زمان و هزینه موردنیاز اجرای تونل می‌پردازد. در این مقاله ابتدا به کمک مدل ابتکاری DAT با به‌کارگیری داده‌های قبل از شروع به ساخت تونل همرو، زمان و

#### ۱۱- مراجع

Tunneling. Ph.D. Thesis submitted at the Massachusetts Institutes of Technology(MIT).

[5] Min. S. Y., Einstein. H. H., Lee. J. S., Kim. T. K. (2003.). Application of decision aids for tunneling (DAT) to a drill and blast tunnel. J. Civil Eng. KSCE. 7(5), 619–628. DOI: 10.1007/BF02838325.

[6] Min. S. Y., Einstein. H. H. (2003). DAT Application for the Wonhyo tunnel. Korea: KRRI.

[7] Min. S. Y., Einstein. H. H. (2005). Application of decision aids for tunneling (DAT) to update excavation cost/time information. J. Civil Eng. KSCE. 9(4), 335–

[1] Chan. M. (1981). A Geological Prediction and Updating Model in Tunneling. Ph.D. Thesis submitted at the Massachusetts Institutes of Technology(MIT).

[2] Halabe. V. B. (1995). Resource Modeling for DAT. Ph.D. Thesis submitted at the Massachusetts Institutes of Technology(MIT).

[3] Sinfield. J. V., Einstein. H. H. (1996). Evaluation of Tunneling Technology Using the Decision Aids for Tunneling. Tunneling and Underground Space Technology. 11(4), 491-504. DOI:10.1016/S0886-7798(96)89245-5

[4] Haas. C. (2000). Updating in the Decision Aids for

- [۱۲] محمودزاده، ارسلان؛ زارع، شکراله؛ دارای، رحمان (۱۳۹۴). کاربرد روش DAT (ابزار کمک به تصمیم‌گیری در تونل‌سازی)- مطالعه‌ی موردنی: تونل جاده‌ی همرو؛ دومین کنفرانس منطقه‌ای و یازدهمین کنفرانس تونل ایران.
- [۱۳] محمودزاده، ارسلان؛ زارع، شکراله؛ دارای، رحمان (۱۳۹۴). کاهش عدم قطعیت زمان و هزینه‌ی پروژه‌های تونل‌سازی با به کارگیری روش DAT- مطالعه‌ی موردنی: تونل راه همرو؛ مجله‌ی علمی-پژوهشی عمران شریف.
- [14] Mahmoodzadeh. A., Zare. S. (2016). Probabilistic prediction of expected ground condition and construction time and costs in road tunnels. Journal of Rock Mechanics and Geotechnical Engineering. 8(6), 734-745. DOI: /10.1016/j.jrmge.2016.07.001.
- [۱۵] مهندسین مشاور ره آور (۱۳۸۸). گزارش مطالعات تونل‌های محور تیز تیز گاران – تونل همرو، مرحله دوم، ۱۵۷ صفحه.
- [16] MATLAB software, R. (2013).
- [17] PertMaster tutorials, V. 8. (2009).
346. DOI: 10.1007/BF02829047.
- [8] Hung. V. (2012). Modelling Uncertainty in the NEW YORK City No. 7 Subwat Line Extension Project Using Decision Aids for Tunnelling (DAT). Ph.D. Thesis submitted at the Massachusetts Institutes of Technology(MIT).
- [9] Moret. Y. (2011). Modeling Cost and Time Uncertainty in Rail Line Construction. Ph.D. Thesis submitted at the Massachusetts Institutes of Technology(MIT).
- [10] Yost. K., Valentin. A., Einstein. H. H. (2015). Estimating Cost and Time of Well Bore Drilling for Engineered Geothermal Systems (EGS)-Considering Uncertainties.53, 85-99. DOI: 10.1016/j.geothermics.2014.04.005
- [11] Ioannou. G., ASCE. A. M. (1989). A Geological Prediction Model for Tunneling. ASCE Journal of Construction Engineering and Management. 115(3), 339-356. DOI: 10.1061/(ASCE)0733-9364 (19-87)113%3A4(569).